

บทที่ 4

ผลการวิจัย

งานวิจัยนี้มีวัตถุประสงค์หลักเพื่อศึกษาผลของตัวแปรที่ใช้ในการเคลือบต่อโครงสร้าง และลักษณะพื้นผิวของฟิล์มน้ำงา โครเมียมในไตรค์ โดยบทนี้กล่าวถึงข้อมูลจากการทดลองตามแนวทางการศึกษาในบทที่ 3 ผลของความดันข้ออ่อนแก๊สในไตรเจน ผลของความหนาและผลของกำลังไฟฟ้า ซึ่งมีรายละเอียดดังนี้

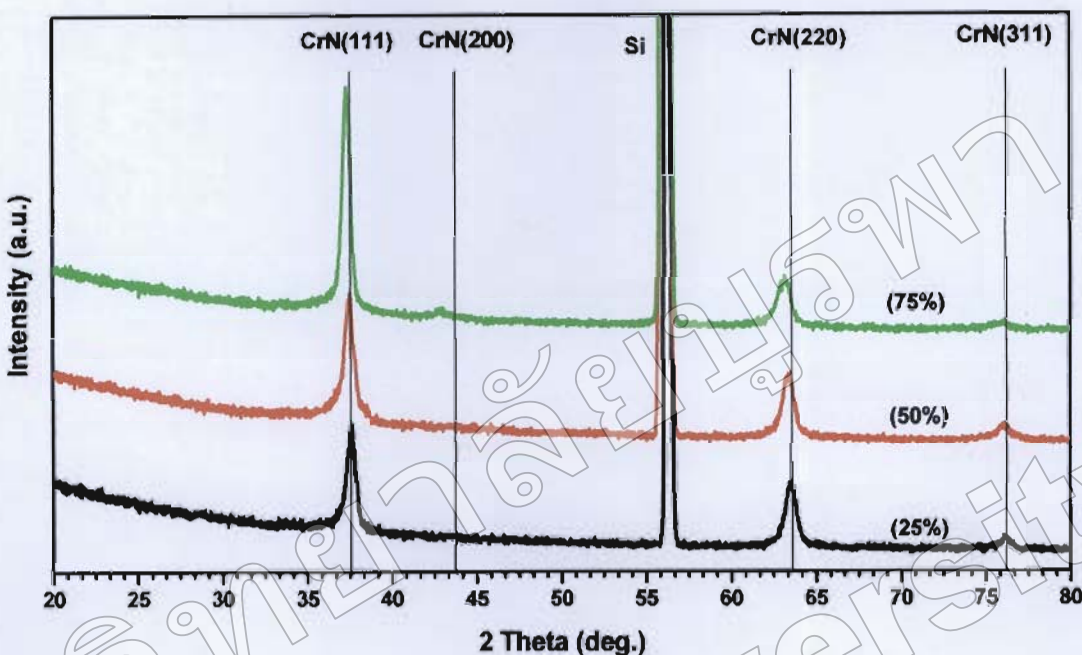
ผลของความดันข้ออ่อนแก๊สในไตรเจน

ส่วนนี้เป็นการเสนอผลการศึกษาโครงสร้างของฟิล์มน้ำงา โครเมียมในไตรค์ที่เคลือบด้วยวิธีรีแอคติฟ ดีซี เมกนิตรอน สปัตเตอริง เมื่อประค่าความดันข้ออ่อนแก๊สในไตรเจนขณะเคลือบเพื่อศึกษาผลของความดันข้ออ่อนแก๊สในไตรเจนต่อลักษณะเฉพาะของฟิล์มน้ำงา โครเมียมในไตรค์ ได้แก่ โครงสร้างผลึก ค่าคงที่แลดติก ขนาดผลึก ความหนา และลักษณะพื้นผิวฟิล์มน้ำงา โครเมียมในไตรค์ องค์ประกอบของธาตุทางเคมี ซึ่งมีรายละเอียดดังนี้

1. โครงสร้างผลึกของฟิล์มน้ำงา โครเมียมในไตรค์

ฟิล์มน้ำงา โครเมียมในไตรค์เคลือบด้วยวิธีรีแอคติฟ ดีซี เมกนิตรอน สปัตเตอริง และประค่าความดันข้ออ่อนแก๊สในไตรเจนในกระบวนการเคลือบท่ากัน 25%, 50% และ 75% ตามลำดับ มีผลดังนี้

ภาพที่ 4-1 แสดงรูปแบบการเลี้ยวเบนรังสีเอกซ์จากเทคนิค XRD ของฟิล์มน้ำงา โครเมียมในไตรค์ที่เคลือบได้มีอ่อนประค่าความดันข้ออ่อนแก๊สในไตรเจน พบรูปแบบการเลี้ยวเบนรังสีเอกซ์ที่มุนต่างๆ ตรงกับรูปแบบการเลี้ยวเบนรังสีเอกซ์ของ โครเมียมในไตรค์ตามมาตรฐาน JCPDS เลขที่ 11-0065 โดยที่ความดันข้ออ่อนแก๊สในไตรเจนในกระบวนการเคลือบท่ากัน 25% และ 50% มีรูปแบบการเลี้ยวเบนรังสีเอกซ์ที่มุน 37.57° , 63.60° และ 76.23° ซึ่งตรงกับ โครเมียมในไตรค์ระนาบ (111), (220) และ (311) ส่วนความดันข้ออ่อนแก๊สในไตรเจนท่ากัน 75% มีรูปแบบการเลี้ยวเบนรังสีเอกซ์ที่มุน 37.57° , 43.77° , 63.60° และ 76.23° ซึ่งตรงกับ โครเมียมในไตรค์ระนาบ (111), (200), (220) และ (311) ตามลำดับ โดย โครเมียมในไตรค์ระนาบ (111) มีความเข้มการเลี้ยวเบนรังสีเอกซ์สูงสุด และ โครเมียมในไตรค์ระนาบ (200) มีลักษณะเป็นโดมเด็ก ๆ และเมื่อความดันข้ออ่อนแก๊สในไตรเจนเพิ่มขึ้น โครเมียมในไตรค์ระนาบ (220) และ (311) มีความเข้มการเลี้ยวเบนรังสีเอกซ์ลดลง ส่วนรูปแบบการเลี้ยวเบนรังสีเอกซ์ที่มุน 56.5° เป็นชาตุชิลิกอน ที่ใช้เป็นวัสดุรองรับ



ภาพที่ 4-1 รูปแบบการเดี่ยวเบนรังสีเอกซ์ของฟิล์มบาง โครเมียมในไตรค์
เมื่อเคลือบด้วยความดันข้ออยแก๊สในไตรเจนต่าง ๆ

จากรูปแบบการเดี่ยวเบนรังสีเอกซ์ของฟิล์มบาง โครเมียมในไตรค์ใน ภาพที่ 4-1 ซึ่งตรงกับมาตรฐาน JCPDS เลขที่ 11-0065 ระบุว่าเป็น โครเมียม ในไตรค์ที่มีโครงสร้างผลึกแบบคิวบิก (cubic) โดยค่าคงที่แลดทิชของฟิล์มบางที่เคลือบด้วยความดันข้ออยแก๊ส ในไตรเจนต่าง ๆ คำนวณจากขนาด (111) และ (200) มีค่าคงที่แลดทิช ในช่วง $4.14\text{--}4.17 \text{ \AA}$ ซึ่งมีค่าใกล้เคียงกับค่าคงที่แลดทิชของ โครเมียม ในไตรค์ตามมาตรฐาน JCPDS เลขที่ 11-0065 ซึ่งมีค่าเท่ากับ 4.14 \AA ดังแสดงในตารางที่ 4-1

สำหรับขนาดผลึกของฟิล์มบาง โครเมียม ในไตรค์หาจาก Scherrer equation โดยอาศัยรูปแบบการเดี่ยวเบนรังสีเอกซ์ของฟิล์มบาง ใน ภาพที่ 4-1 ขนาดผลึกของฟิล์มบาง โครเมียม ในไตรค์ที่เคลือบได้ เมื่อแบร์ค่าความดันข้ออยแก๊สในไตรเจน ขนาดของผลึกมีค่าต่าง ๆ โดยพบว่า โครเมียม ในไตรค์ขนาด (111) มีขนาดผลึกในช่วง 31 nm ถึง 36 nm ส่วน โครเมียม ในไตรค์ขนาด (220) มีขนาดผลึกในช่วง 8 nm ถึง 12 nm ดังแสดงในตารางที่ 4-2

จากผลของรูปแบบการเลี้ยวเบนรังสีเอกซ์ของฟิล์มบางโครเมียมในไตรค์ในภาพที่ 4-1 พบว่าที่ความดันย่อยแก๊สในไตรเจนเท่ากับ 75% ฟิล์มที่เคลือบได้มีความเป็นผลึกมากที่สุด และยังพบโครงสร้างผลึกของฟิล์มบางโครเมียมในไตรค์ที่ระนาบ (200) ซึ่งที่ความดันย่อยแก๊สในไตรเจนอื่นๆ ไม่มี ดังนั้นในการทดลองต่อไปจะใช้ความดันย่อยแก๊สในไตรเจนเท่ากับ 75%

ตารางที่ 4-1 ค่าคงที่แลตทิชของฟิล์มบางโครเมียมในไตรค์เมื่อเคลือบด้วย
ความดันย่อยแก๊สในไตรเจนต่าง ๆ

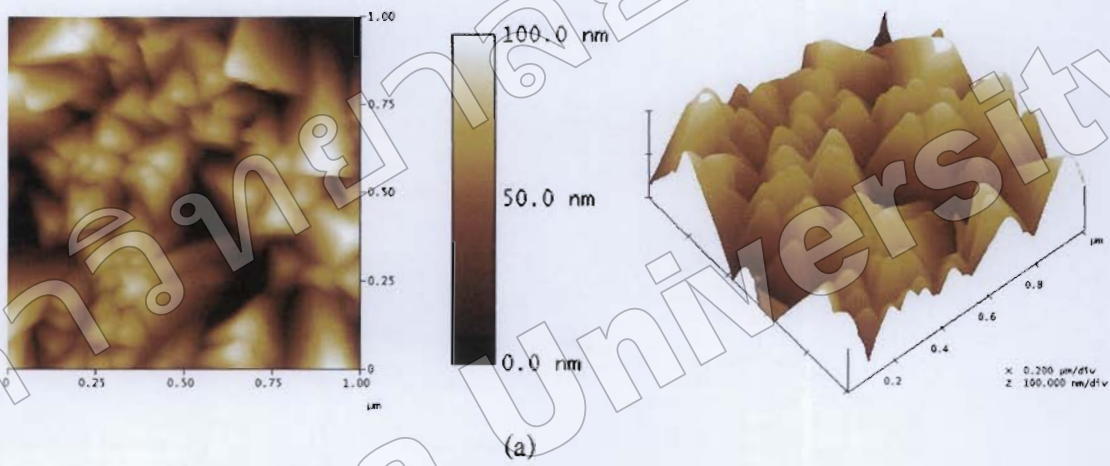
ความดันย่อยแก๊สในไตรเจน	a (\AA)	
	CrN(111)	CrN(220)
25%	4.15	4.14
50%	4.16	4.15
75%	4.17	4.16

ตารางที่ 4-2 ขนาดผลึกของฟิล์มบางโครเมียมในไตรค์เมื่อเคลือบด้วย
ความดันย่อยแก๊สในไตรเจนต่าง ๆ

ความดันย่อยแก๊สในไตรเจน	ขนาดผลึก (nm)	
	CrN(111)	CrN(220)
25%	31	12
50%	31	12
75%	36	8

2. ความหนาและลักษณะพื้นผิวของฟิล์มนางโครเมี่ยนในไตรด์

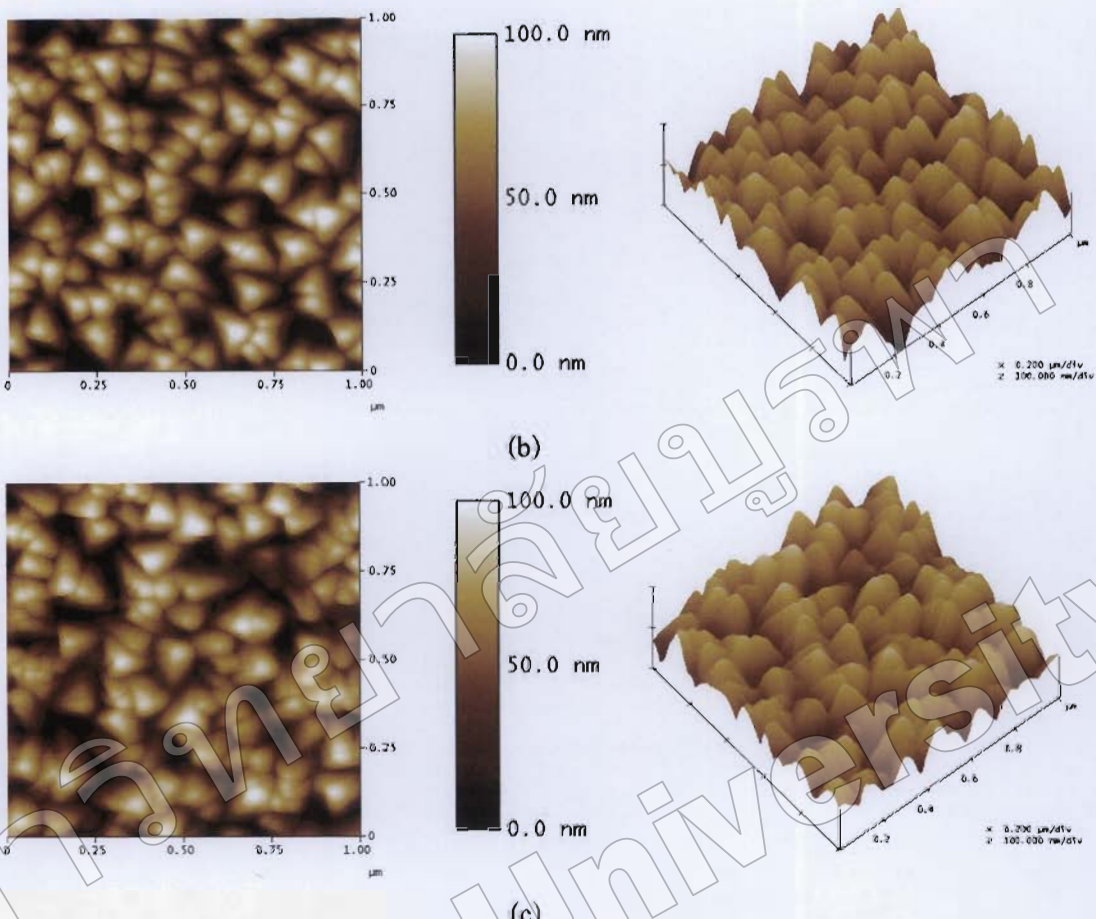
ภาพที่ 4-2 แสดงลักษณะพื้นผิวแบบ 2 มิติ และ 3 มิติ ของฟิล์มนางโครเมี่ยนในไตรด์เคลือบด้วยความดันข้ออยแก๊สในไตรเจนต่าง ๆ จากเทคนิค AFM พบว่าที่ความดันข้ออยแก๊สในไตรเจนเท่ากับ 25% ผิวน้ำของฟิล์มนีเกรนขนาดใหญ่กระจายทั่วพื้นผิวของฟิล์มน เมื่อความดันข้ออยแก๊สในไตรเจนเพิ่มขึ้น เกรนมีขนาดเล็กลง กระจายทั่วพื้นผิวของฟิล์มน สำหรับความหนาและความหยาบผิวของฟิล์มนพบว่าเมื่อความดันข้ออยแก๊สในไตรเจนเพิ่มขึ้นจาก 25% เป็น 50% และ 75% ฟิล์มนที่เคลือบได้มีความหนาลดลงจาก 2070 nm เป็น 1160 nm ส่วนความหยาบผิวลดลงจาก 37 nm เป็น 18 nm ดังแสดงในตารางที่ 4-3



ภาพที่ 4-2 ลักษณะพื้นผิวแบบ 2 มิติ และ 3 มิติ ของฟิล์มนางโครเมี่ยนในไตรด์

ที่วิเคราะห์ด้วยเทคนิค AFM

- (a) ความดันข้ออยแก๊สในไตรเจนเท่ากับ 25%
- (b) ความดันข้ออยแก๊สในไตรเจนเท่ากับ 50%
- (c) ความดันข้ออยแก๊สในไตรเจนเท่ากับ 75%

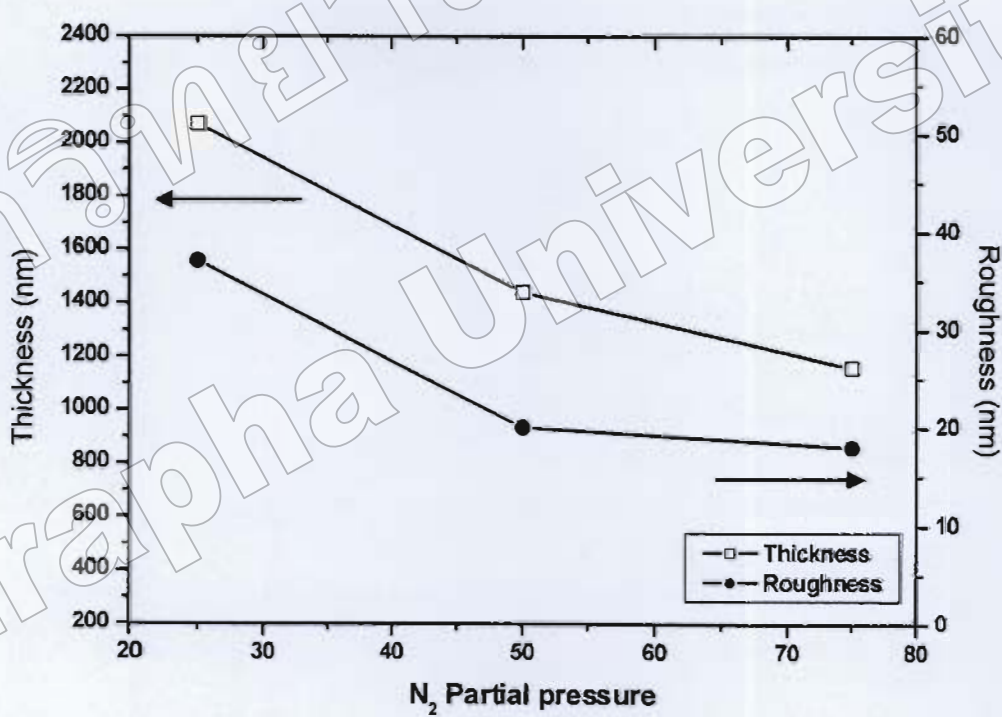


ภาพที่ 4-2 ลักษณะพื้นผิวแบบ 2 มิติ และ 3 มิติ ของฟิล์มบาง โครเมียม ไนไตรด์ ที่วิเคราะห์ด้วยเทคนิค AFM

- (a) ความดันข้ออุ้งแก๊ส ใน โทรเจนเท่ากับ 25%
- (b) ความดันข้ออุ้งแก๊ส ใน โทรเจนเท่ากับ 50%
- (c) ความดันข้ออุ้งแก๊ส ใน โทรเจนเท่ากับ 75%

ตารางที่ 4-3 ความหนาและความหยาบผิวของฟิล์มบาง โครเมี่ยนในไตรค์
เมื่อเคลือบด้วยความดันย่อยแก๊สในไตรเจนต่าง ๆ

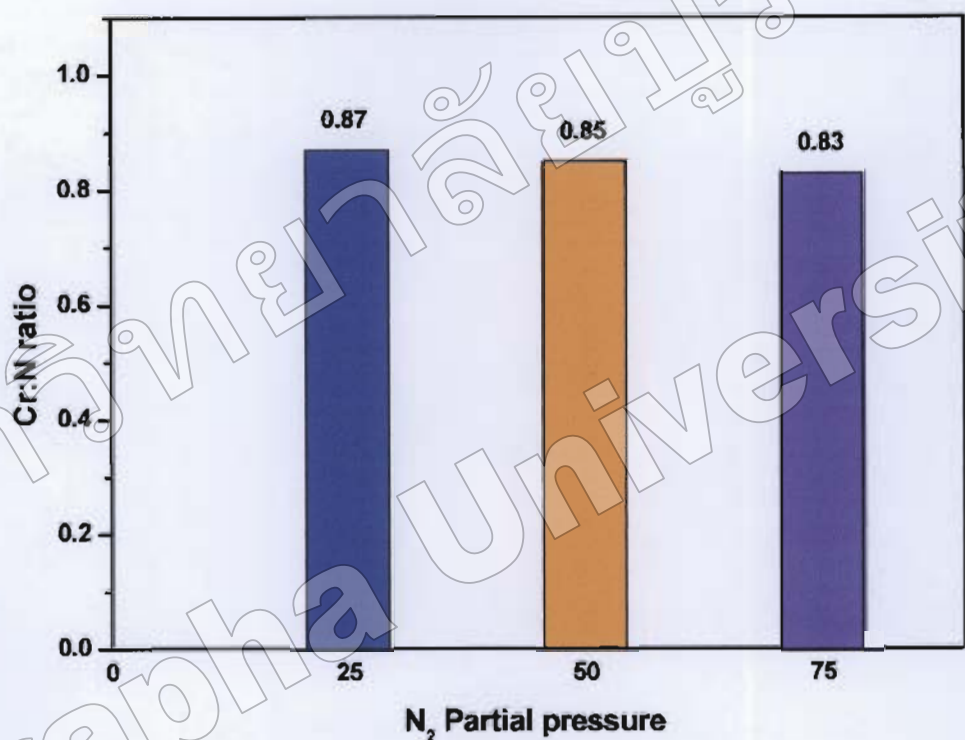
ความดันย่อยแก๊สในไตรเจน	ความหนา (nm)	ความหยาบผิว (nm)
25%	2070	37
50%	1440	20
75%	1160	18



ภาพที่ 4-3 ความหนาและความหยาบผิวของฟิล์มบาง โครเมี่ยนในไตรค์
เมื่อเคลือบด้วยความดันย่อยแก๊สในไตรเจนต่าง ๆ

3. องค์ประกอบของธาตุทางเคมีของฟิล์มบางโครเมี่ยมในไตรด์

การศึกษาองค์ประกอบของธาตุทางเคมีของฟิล์มบางโครเมี่ยมในไตรด์ โดยนำฟิล์มบางโครเมี่ยมในไตรด์ที่เคลือบด้วยความดันข้อylegas ในไตรเจนเท่ากับ 25%, 50% และ 75% ไปศึกษาอัตราส่วน Cr : N โดยการวิเคราะห์ด้วยเทคนิค EDX พนอัตราส่วน Cr : N ซึ่งมีค่าเท่ากับ 0.87, 0.85 และ 0.83 ตามลำดับ ดังแสดงในภาพที่ 4-4



ภาพที่ 4-4 อัตราส่วน Cr : N ของฟิล์มบางโครเมี่ยมในไตรด์เมื่อเคลือบด้วยความดันข้อylegas ในไตรเจนค่างๆ

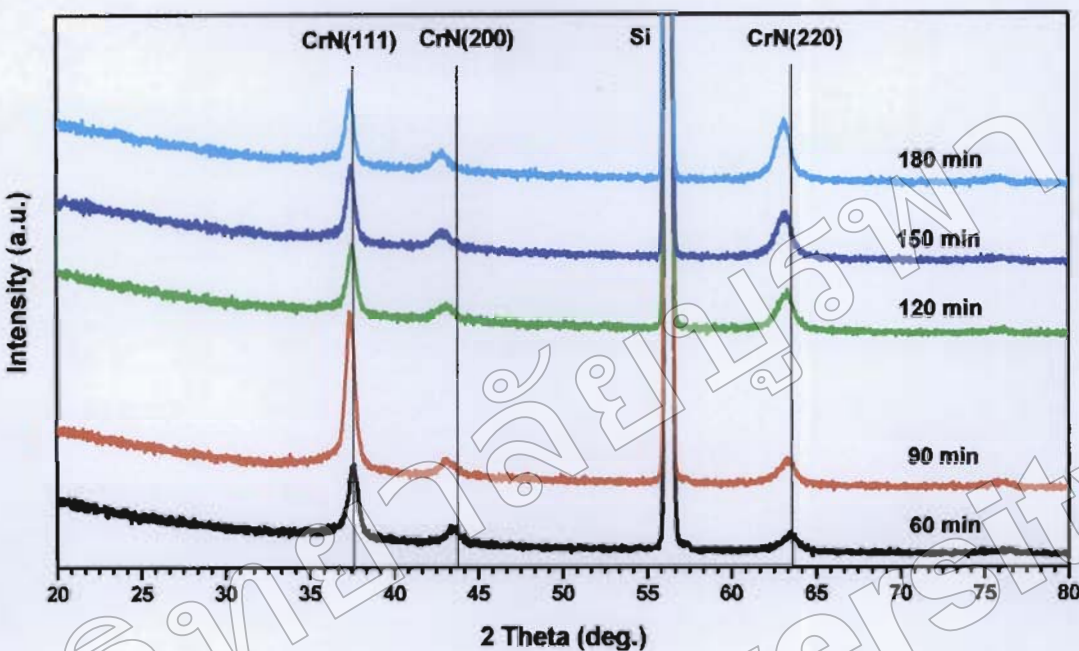
ผลของความหนาฟิล์ม

ส่วนนี้เป็นผลการศึกษาโครงการสร้างของฟิล์ม โครเมียม ในไตรด์ที่เคลือบด้วยวิธีรีแอคติฟ ดีซี แมกนีตรอน สปีตเตอริง เมื่อกำหนดความดันย่ออยแก๊สในไตรเจนเท่ากับ 75% ระยะห่างระหว่าง เป้าสารเคลือบกับวัสดุรองรับเท่ากับ 15 cm และแปรค่าเวลาเคลือบ เพื่อศึกษาผลของความหนาต่อ ลักษณะเฉพาะของฟิล์มบาง โครเมียม ในไตรด์ ได้แก่ โครงการสร้างผลึก ค่าคงที่แล็ตทิช ขนาดผลึก ความหนา และลักษณะพื้นผิวฟิล์มบาง โครเมียม ในไตรด์ องค์ประกอบของชาตุทางเคมี ซึ่งมี รายละเอียดดังนี้

1. โครงการสร้างผลึกของฟิล์มบาง โครเมียม ในไตรด์

ฟิล์มบาง โครเมียม ในไตรด์เคลือบด้วยวิธีรีแอคติฟ ดีซี แมกนีตรอน สปีตเตอริง เมื่อแปร ค่าเวลาในกระบวนการเคลือบท่ากับ 60 นาที, 90 นาที, 120 นาที, 150 นาที และ 180 นาที ตามลำดับ มีผลดังนี้

ภาพที่ 4-5 แสดงรูปแบบการเลี้ยวเบนรังสีเอกซ์จากเทคนิค XRD ของฟิล์มบาง โครเมียม ในไตรด์ที่เคลือบ ได้มีอัตราเวลาในกระบวนการเคลือบ พบรูปแบบการเลี้ยวเบนรังสีเอกซ์ที่มุ่ง ต่างๆ ตรงกับรูปแบบการเลี้ยวเบนรังสีเอกซ์ของ โครเมียม ในไตรด์ตามมาตรฐาน JCPDS เลขที่ 11-0065 โดยที่เวลาในกระบวนการเคลือบท่ากับ 60 นาที, 90 นาที, 120 นาที, 150 นาที และ 180 นาที มีรูปแบบการเลี้ยวเบนรังสีเอกซ์ที่มุ่ง 37.57° , 43.77° และ 63.60° ซึ่งตรงกับ โครเมียม ในไตรด์รูปแบบ (111), (200) และ (220) ตามลำดับ โดยพบว่าฟิล์มบางที่เคลือบด้วยเวลาเท่ากับ 90 นาที พบรูปแบบ (111) นิ่ม ความเข้มของการเลี้ยวเบนรังสีเอกซ์สูงสุด และเมื่อใช้ เวลาในการเคลือบนานขึ้น โครเมียม ในไตรด์รูปแบบ (111) นิ่ม ความเข้มของการเลี้ยวเบนรังสีเอกซ์ ลดลง ขณะที่ โครเมียม ในไตรด์รูปแบบ (200) และ (220) มีความเข้มของการเลี้ยวเบนรังสีเอกซ์ เพิ่มขึ้น ส่วนรูปแบบการเลี้ยวเบนรังสีเอกซ์ที่มุ่ง 56.5° เป็นชาตุซิลิกอน ที่ใช้เป็นวัสดุรองรับ



ภาพที่ 4-5 รูปแบบการเติบโตของฟลัมบง โคโรเมียมในไตรด์ใน ภาพที่ 4-5 ซึ่งตรงกับมาตรฐาน JCPDS เลขที่ 11-0065 ระบุว่าเป็น โคโรเมียม ในไตรด์ที่มีโครงสร้างผลึกแบบคิวบิก (cubic) โดยค่าคงที่แล็ตทิชของฟลัมบงเมื่อเคลือบด้วยเวลาต่าง ๆ ค่านวณจากระนาบ (111), (200) และ (220) มีค่าคงที่แล็ตทิชในช่วง 4.14-4.22 Å ซึ่งมีค่าใกล้เคียงกับค่าคงที่แล็ตทิชของ โคโรเมียม ในไตรด์ตามมาตรฐาน JCPDS เลขที่ 11-0065 ซึ่งมีค่าเท่ากับ 4.14 Å ดังแสดงในตารางที่ 4-4

สำหรับขนาดผลึกของฟลัมบง โคโรเมียม ในไตรด์หางจาก Scherrer equation โดยอาศัยรูปแบบการเติบโตของฟลัมบง ใน ภาพที่ 4-11 ขนาดผลึกของฟลัมบง โคโรเมียม ในไตรด์ที่เคลือบได้ เมื่อเปลี่ยนเวลาในกระบวนการเคลือบ ขนาดของผลึกมีค่าต่าง ๆ โดยพบว่า โคโรเมียม ในไตรด์ระนาบ (111) มีขนาดผลึกในช่วง 27 nm ถึง 32 nm ส่วน โคโรเมียม ในไตรด์ระนาบ (200) มีขนาดผลึกในช่วง 17 nm ถึง 34 nm และ โคโรเมียม ในไตรด์ที่ระนาบ (220) มีขนาดผลึก ในช่วง 18 nm ถึง 21 nm ดังแสดงในตารางที่ 4-5

ตารางที่ 4-4 ค่าคงที่แล็ตทิชของฟิล์มบางโครเมียมในไตรค์เมื่อเคลือบด้วยเวลาต่างๆ

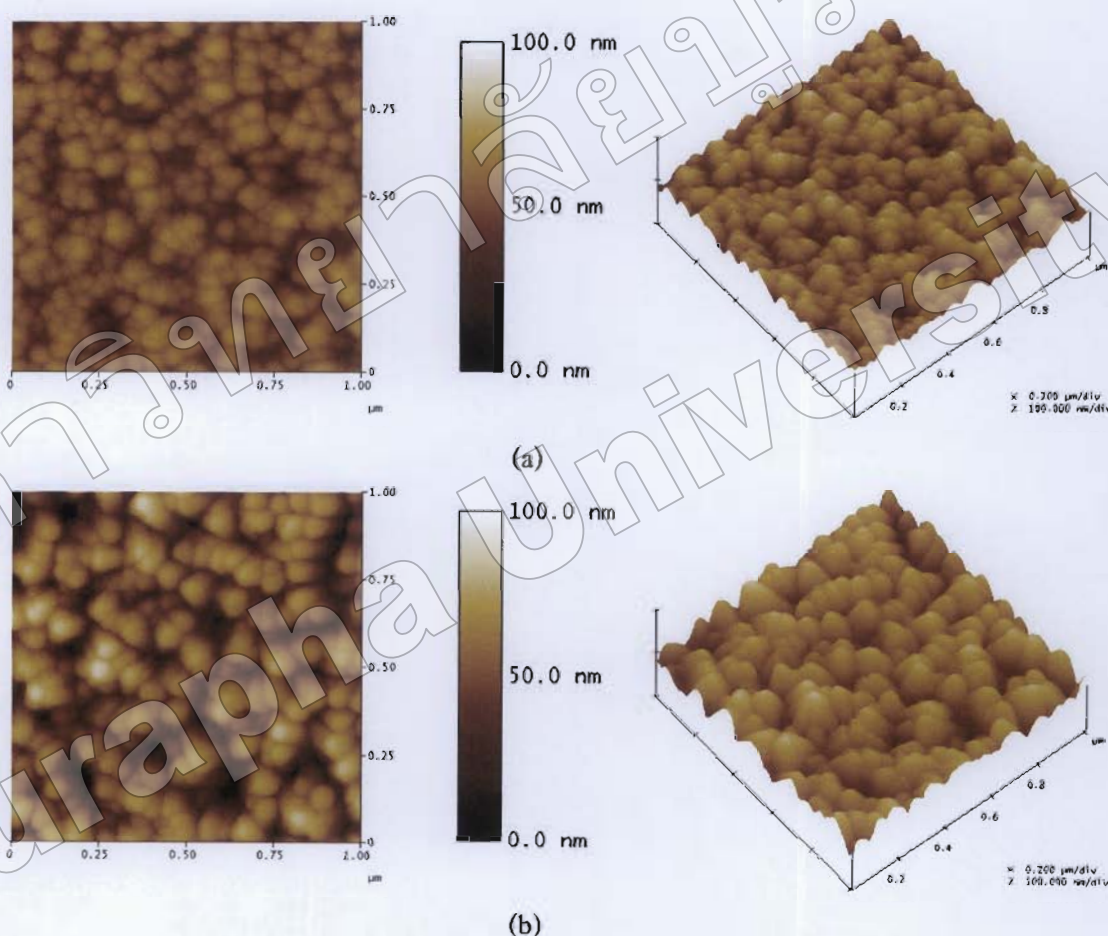
เวลาเคลือบ (min)	a (Å)		
	CrN(111)	CrN(200)	CrN(220)
60	4.15	4.16	4.14
90	4.16	4.20	4.15
120	4.15	4.20	4.16
150	4.16	4.22	4.16
180	4.16	4.22	4.16

ตารางที่ 4-5 ขนาดผลึกของฟิล์มบางโครเมียมในไตรค์เมื่อเคลือบด้วยเวลาต่างๆ

เวลาเคลือบ (min)	ขนาดผลึก (nm)		
	CrN(111)	CrN(200)	CrN(220)
60	27	31	21
90	30	34	19
120	30	17	21
150	30	19	21
180	32	21	18

2. ความหนา และลักษณะพื้นผิวของฟิล์มบางโครเมียมในไตรด์

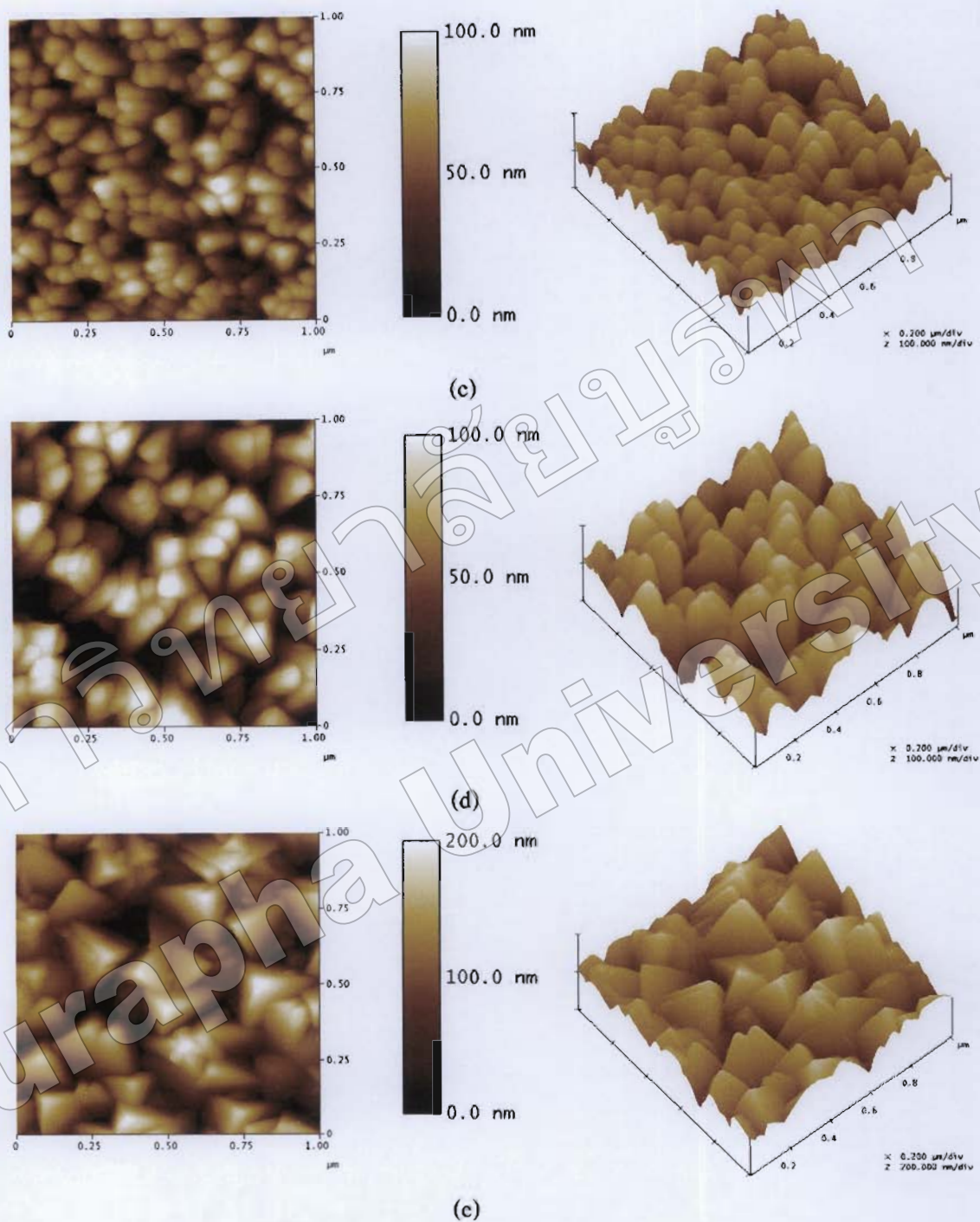
ภาพที่ 4-6 แสดงลักษณะพื้นผิวแบบ 2 มิติ และ 3 มิติ ของฟิล์มโครเมียมในไตรด์ เคลื่อนโดยแบร์ค้าความหนาจากเวลาเคลื่อนต่าง ๆ จากเทคนิค AFM พบว่าที่เวลาเคลื่อน 60 นาที ผิวน้ำของฟิล์มนี้เกรนขนาดเล็กกระจายทั่วพื้นผิวของฟิล์ม และเมื่อใช้เวลาในการเคลื่อนนานขึ้น เกรนมีขนาดใหญ่ขึ้น กระจายทั่วพื้นผิวของฟิล์ม สำหรับความหนาของฟิล์มนี้ความหนาเพิ่มขึ้นจาก 832 nm เป็น 2342 nm ส่วนความหนาผิวเพิ่มขึ้นจาก 7 nm เป็น 34 nm ดังแสดงในตารางที่ 4-6



ภาพที่ 4-6 ลักษณะพื้นผิวแบบ 2 มิติ และ 3 มิติ ของฟิล์มบางโครเมียมในไตรด์

ที่วิเคราะห์ด้วยเทคนิค AFM.

- (a) เวลาเคลื่อนเท่ากับ 60 นาที
- (b) เวลาเคลื่อนเท่ากับ 90 นาที
- (c) เวลาเคลื่อนเท่ากับ 120 นาที
- (d) เวลาเคลื่อนเท่ากับ 150 นาที
- (e) เวลาเคลื่อนเท่ากับ 180 นาที

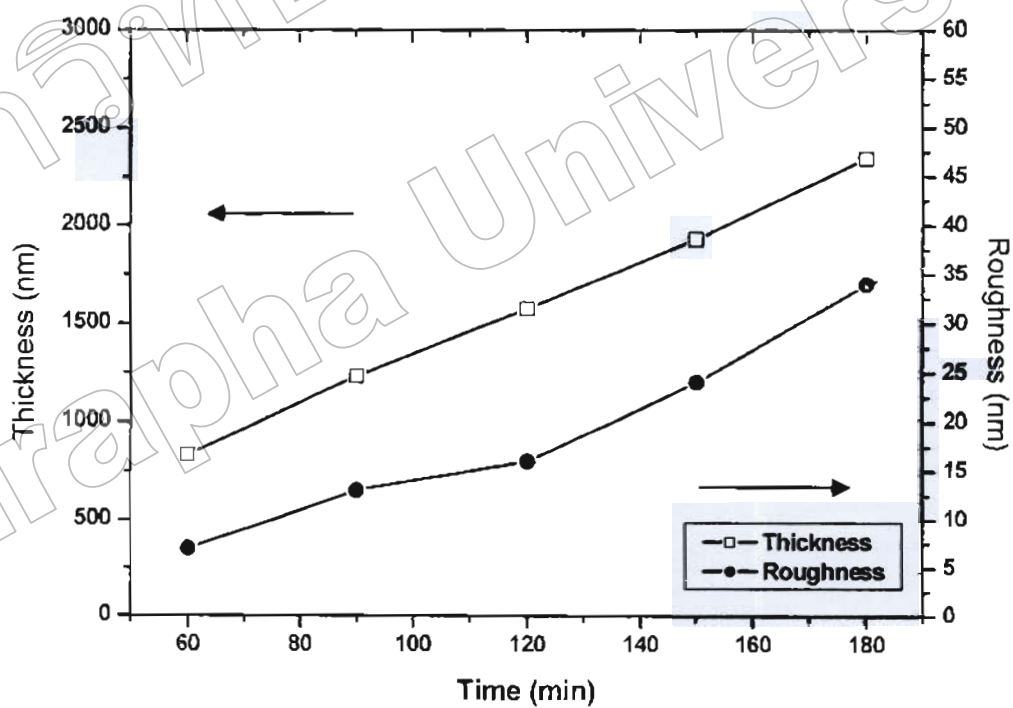


ภาพที่ 4-6 ลักษณะพื้นผิวแบบ 2 มิติ และ 3 มิติ ของฟิล์มบาง โครเมียม ในไตรค์ที่วิเคราะห์ด้วยเทคนิค AFM

- (a) เวลาเคลื่อนเท่ากับ 60 นาที
- (b) เวลาเคลื่อนเท่ากับ 90 นาที
- (c) เวลาเคลื่อนเท่ากับ 120 นาที
- (d) เวลาเคลื่อนเท่ากับ 150 นาที
- (e) เวลาเคลื่อนเท่ากับ 180 นาที

ตารางที่ 4-6 ความหนาและความหยาบผิวของฟิล์มนางโกรเมียนในไตรค์เมื่อเคลือบด้วยเวลาต่าง ๆ

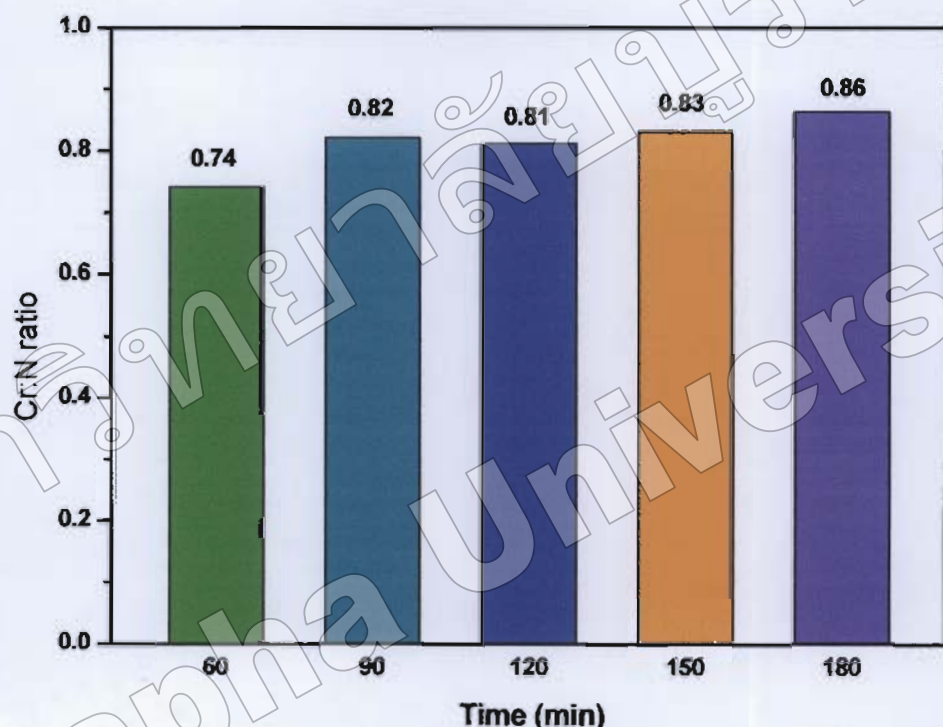
เวลาเคลือบ (min)	ความหนา (nm)	ความหยาบผิว (nm)
60	832	7
90	1231	13
120	1575	16
150	1932	24
180	2342	34



ภาพที่ 4-7 ความหนาและความหยาบผิวของฟิล์มนางโกรเมียนในไตรค์เมื่อเคลือบด้วยเวลาต่าง ๆ

3. องค์ประกอบของชาตุทางเคมีของฟิล์มน้ำกรามีนในไตรต์

การศึกษาองค์ประกอบของชาตุทางเคมีของฟิล์มน้ำกรามีนในไตรต์ โดยนำฟิล์มน้ำกรามีนในไตรต์ที่เวลาเดลีอับ เท่ากับ 60 นาที, 90 นาที, 120 นาที, 150 นาที และ 180 นาที ไปศึกษาอัตราส่วน Cr : N โดยการวิเคราะห์ด้วยเทคนิค EDX พนอัตราส่วน Cr : N ของฟิล์มน้ำกรามีนที่เท่ากับ 0.74, 0.82, 0.81, 0.83 และ 0.86 ตามลำดับ ดังแสดงในภาพที่ 4-8



ภาพที่ 4-8 อัตราส่วน Cr : N ของฟิล์มน้ำกรามีนในไตรต์เมื่อเคลือบด้วยเวลาต่าง ๆ

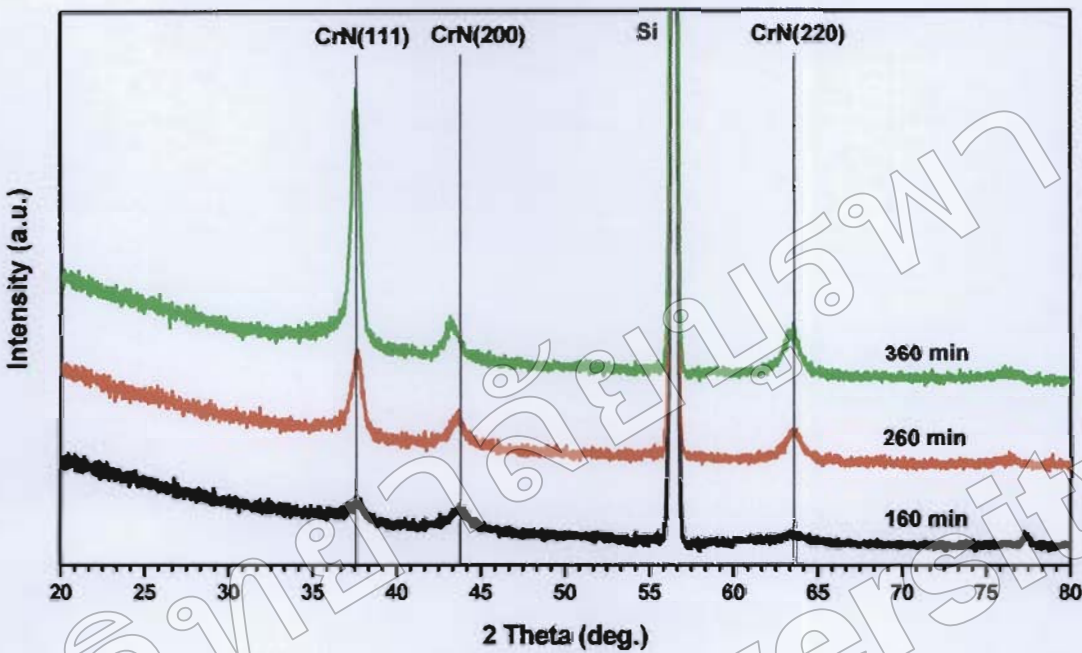
ผลของกำลังไฟฟ้า

ส่วนนี้เป็นผลการศึกษาโครงการสร้างของพิล์มโครเมี่ยนในไตรค์ที่เคลือบด้วยวิธี รีแอคติฟ ดีซี แมกนีตอรอน สปีดเตอริง เมื่อกำหนดความดันย่อยแก๊สในไตรเจนเท่ากับ 75% ระยะห่างระหว่าง เป้าสารเคลือบกับวัสดุรองรับเท่ากับ 15 cm และแปรค่ากำลังไฟฟ้าในกระบวนการเคลือบ เพื่อศึกษา ผลของกำลังไฟฟ้าต่อลักษณะเฉพาะของพิล์มนบาง โครเมี่ยนในไตรค์ ได้แก่ โครงสร้างผลึกค่าคงที่ แลดทิช ขนาดผลึก ความหนา และลักษณะพื้นผิวพิล์มนบาง โครเมี่ยนในไตรค์ องค์ประกอบของชาตุ ทางเคมี ซึ่งมีรายละเอียดดังนี้

1. โครงสร้างผลึกของพิล์มนบาง โครเมี่ยนในไตรค์

พิล์มนบาง โครเมี่ยนในไตรค์เคลือบด้วยวิธี รีแอคติฟ ดีซี แมกนีตอรอน สปีดเตอริง เมื่อแปร ค่ากำลังไฟฟ้าในกระบวนการเคลือบเท่ากับ 160 W, 260 W และ 360 W ตามลำดับ มีผลดังนี้

ภาพที่ 4-9 แสดงรูปแบบการเลี้ยวเบนรังสีเอกซ์จากเทคนิค XRD ของพิล์มนบาง โครเมี่ยน ในไตรค์ที่เคลือบ ได้มีอุปกรณ์กำลังไฟฟ้า พบรูปแบบการเลี้ยวเบนรังสีเอกซ์ที่มุ่งต่างๆ ตรงกับ รูปแบบการเลี้ยวเบนรังสีเอกซ์ของโครเมี่ยนในไตรค์ตามมาตรฐาน JCPDS เลขที่ 11-0065 โดยที่ กำลังไฟฟ้าในกระบวนการเคลือบเท่ากับ 160 W, 260 W และ 360 W มีรูปแบบการเลี้ยวเบนรังสี เอกซ์ที่มุ่ง 37.57° , 43.77° และ 63.60° ซึ่งตรงกับโครเมี่ยนในไตรค์ระนาบ (111), (200) และ (220) ตามลำดับ โดยพบว่าเมื่อกำลังไฟฟ้าเพิ่มขึ้น โครเมี่ยนในไตรค์ระนาบ (111), (200) และ (220) มี ความเข้มของการเลี้ยวเบนรังสีเอกซ์เพิ่มขึ้น ส่วนรูปแบบการเลี้ยวเบนรังสีเอกซ์ที่มุ่ง 56.5° เป็นชาตุ ซิลิกอน ที่ใช้เป็นวัสดุรองรับ



ภาพที่ 4-9 รูปแบบการเลี้ยงแบบรังสีเอกซ์ของฟิล์มบาง โครเมียมในไตรค์ เมื่อเคลือบด้วยกำลังไฟฟ้าต่าง ๆ

จากรูปแบบการเลี้ยงแบบรังสีเอกซ์ของฟิล์มบาง โครเมียมในไตรค์ใน ภาพที่ 4-11 ซึ่งตรง ตรงกับมาตรฐาน JCPDS เลขที่ 11-0065 ระบุว่าเป็น โครเมียม ในไตรค์ที่นิโตรรั่งสร้างผลึกแบบคิวบิก (cubic) โดยค่าคงที่ແລຕทิชของฟิล์มบางที่เคลือบด้วยกำลังไฟฟ้าต่าง ๆ คำนวณจากระนาบ (111) (200) และ (220) มีค่าคงที่ແລຕทิชในช่วง 4.14-4.18 Å ซึ่งมีค่าใกล้เคียงกับค่าคงที่ແລຕทิชของ โครเมียม ในไตรค์ตามมาตรฐาน JCPDS เลขที่ 11-0065 ซึ่งมีค่าเท่ากับ 4.14 Å ดังแสดงในตารางที่ 4-7

สำหรับขนาดผลึกของฟิล์มบาง โครเมียม ในไตรค์หาจาก Scherrer equation โดยอาศัย รูปแบบการเลี้ยงแบบรังสีเอกซ์ของฟิล์มบาง ใน ภาพที่ 4-14 ขนาดผลึกของฟิล์มบาง โครเมียม ในไตรค์ที่เคลือบโดยแบรค์กำลังไฟฟ้า ขนาดของผลึกมีค่าต่าง ๆ โดยพบว่าที่ฟิล์มบาง โครเมียม ในไตรค์ระนาบ (111) มีขนาดผลึกในช่วง 25 nm ถึง 29 nm ส่วนฟิล์มบาง โครเมียม ในไตรค์ระนาบ (200) มีขนาดผลึกในช่วง 21 nm ถึง 24 nm และฟิล์มบาง โครเมียม ในไตรค์ที่ระนาบ (220) มีขนาดผลึกในช่วง 20 nm ถึง 21 nm ดังแสดงในตารางที่ 4-8

ตารางที่ 4-7 ค่าคงที่แล็ตทิซของฟิล์มบางโครเมียมในไตรด์เมื่อเคลือบด้วยกำลังไฟฟ้าต่าง ๆ

กำลังไฟฟ้า (W)	a (Å)		
	CrN(111)	CrN(200)	CrN(220)
160	-	-	-
260	4.14	4.16	4.14
360	4.15	4.18	4.14

ตารางที่ 4-8 ขนาดผลึกของฟิล์มบางโครเมียมในไตรด์เมื่อเคลือบด้วยกำลังไฟฟ้าต่าง ๆ

กำลังไฟฟ้า (W)	ขนาดผลึก (nm)		
	CrN(111)	CrN(200)	CrN(220)
160	-	-	-
260	25	21	21
360	29	24	20

2. ความหนา และลักษณะพื้นผิวของฟิล์มนางโกรเมี่ยมในไตรด์

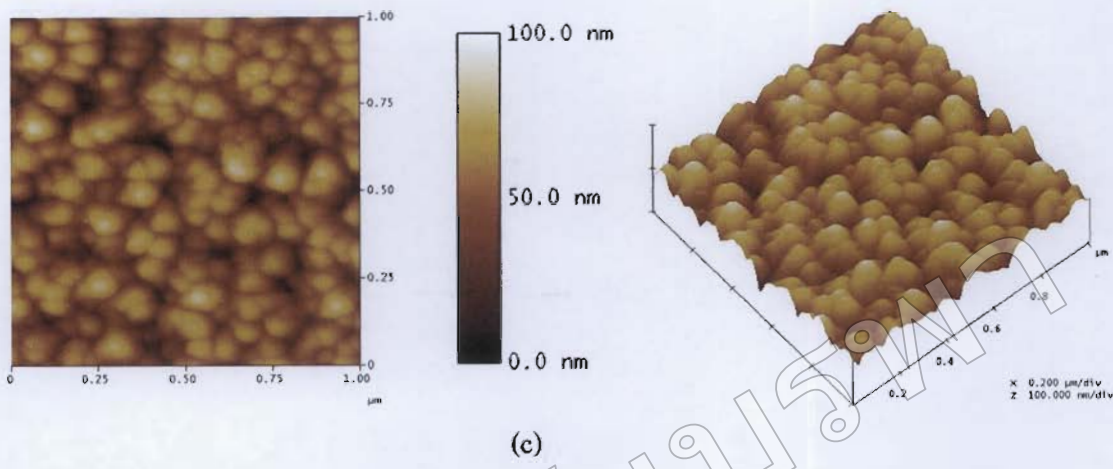
ภาพที่ 4-10 แสดงลักษณะพื้นผิวแบบ 2 มิติ และ 3 มิติ ของฟิล์มนางโกรเมี่ยมในไตรด์เคลือบด้วยกำลังไฟฟ้าต่าง ๆ จากเทคนิค AFM พบว่าที่กำลังไฟฟ้า 160 W ผิวน้ำของฟิล์มนางโกรเมี่ยมมีเกรนขนาดเล็กกระจายทั่วพื้นผิวของฟิล์ม และเมื่อกำลังไฟฟ้าในกระบวนการเคลือบเพิ่มขึ้น เกรนมีขนาดใหญ่ขึ้น กระจายทั่วพื้นผิวของฟิล์ม สำหรับความหนาของฟิล์มนางโกรเมี่ยมที่เพิ่มจาก 700 nm เป็น 1332 nm ส่วนความหมายผิวเพิ่มขึ้นจาก 3 nm เป็น 11 nm ดังแสดงในตารางที่ 4-14



ภาพที่ 4-10 ลักษณะพื้นผิวแบบ 2 มิติ และ 3 มิติ ของฟิล์มนางโกรเมี่ยมในไตรด์

วิเคราะห์ด้วยเทคนิค AFM

- กำลังไฟฟ้าเท่ากับ 160 W
- กำลังไฟฟ้าเท่ากับ 260 W
- กำลังไฟฟ้าเท่ากับ 360 W



ภาพที่ 4-10 ลักษณะพื้นผิวแบบ 2 มิติ และ 3 มิติ ของฟิล์มบาง โครเมียมในไตรค์

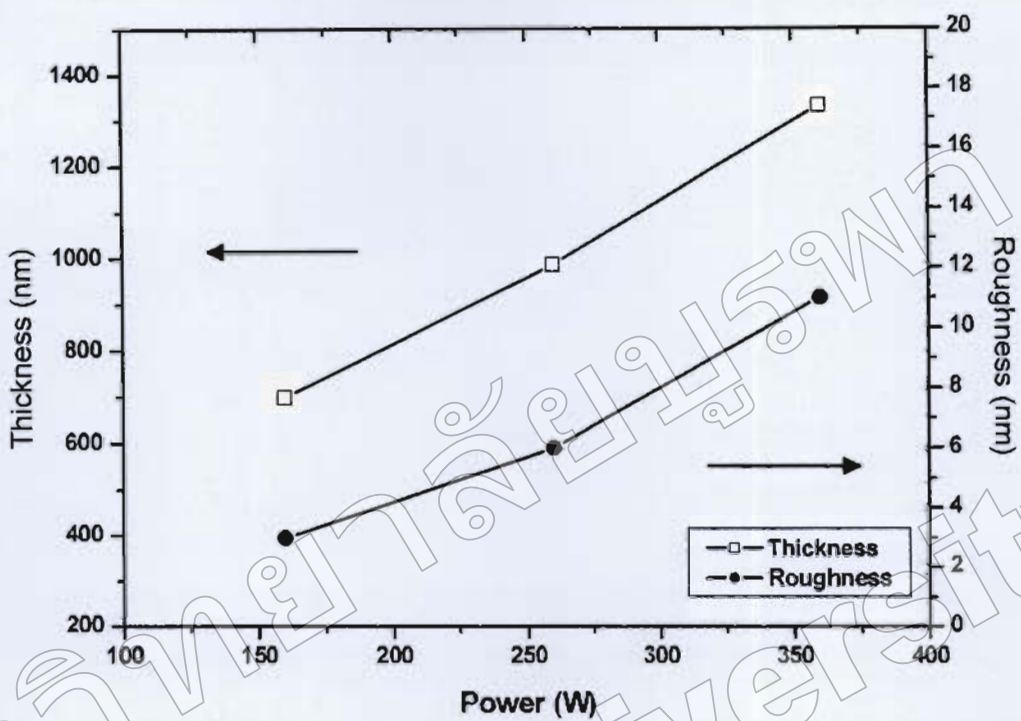
ที่วิเคราะห์ด้วยเทคนิค AFM

- (a) กำลังไฟฟ้าเท่ากับ 160 W
- (b) กำลังไฟฟ้าเท่ากับ 260 W
- (c) กำลังไฟฟ้าเท่ากับ 360 W

ตารางที่ 4-9 ความหนาและความหยาบผิวของฟิล์มบาง โครเมียมในไตรค์

เมื่อเปลี่ยนด้วยกำลังไฟฟ้าต่างๆ

กำลังไฟฟ้า (W)	ความหนา (nm)	ความหยาบผิว (nm)
160	700	3
260	986	6
360	1332	11



ภาพที่ 4-11 ความหนาและความหยาบผิวของพิล์มนางไครเมี่ยนในไตรค์
เมื่อเปลี่ยนค่ายกกำลังไฟฟ้าต่าง ๆ

3. องค์ประกอบของธาตุทางเคมีของพิล์มนบางโครเมียมในไตรด์

การศึกษาองค์ประกอบของธาตุทางเคมีของพิล์มนบางโครเมียมในไตรด์ โดยนำพิล์มนบางโครเมียมในไตรด์ที่เคลือบด้วยกำลังไฟฟ้าเท่ากับ 160 W, 260 W และ 360 W ไปศึกษาอัตราส่วน Cr : N โดยการวิเคราะห์ด้วยเทคนิค EDX พบรอัตราส่วน Cr : N ของพิล์มนบางเท่ากับ 0.62, 0.80 และ 0.76 ตามลำดับ ดังแสดงในภาพที่ 4-12



ภาพที่ 4-12 อัตราส่วน Cr:N ของพิล์มนบางโครเมียมในไตรด์ที่กำลังไฟฟ้าต่าง ๆ